

## 4. Basics of Quantum Computer

---

Vaughan Sohn

October 10, 2024

Quantum Circuit model

Quantum Gates

Universal Quantum gate set: {CNOT, single qubit gates}

Universal Quantum Discrete gate set: {CNOT, H, S, T}

Measurement

## Quantum Circuit model

---

## Component of quantum circuit model

- Classical computer를 표현하기 위해서 circuit model을 사용한 것 처럼, quantum computer를 표현하기 위한 circuit model을 설계할 수 있다.
- Quantum circuit은 정보의 단위로 *qubit*를 사용하며, logic gate와 같이 간단한 연산을 수행하는 quantum gate를 이용한다.
- Qubit와 quantum gate는 다음과 같은 특징을 가진다.
  - Qubit는 superposition, entanglement와 같은 특징을 가진다.
  - Quantum gate는 input과 output qubit의 개수가 동일한 *unitary operator*여야 한다.
- Quantum circuit은 다음과 같이 나타낸다. Operation 순서는 left to right, qubit의 나열순서는 top to bottom이다.  $\Rightarrow$  Matrix-vector 표기법과의 순서를 혼동하지 않도록 주의하자.

$$|\psi\rangle = C(X)C(X)U |q_0q_1q_2q_3\rangle$$

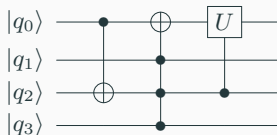


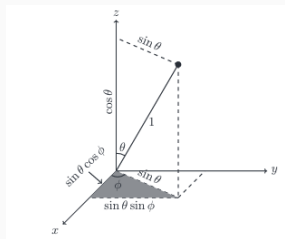
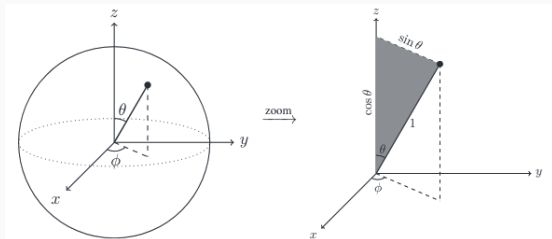
Table 1: Quantum Circuit

- Computational basis  $\{|0\rangle, |1\rangle\}$ 에 대하여 single qubit은 다음과 같이 표현한다.

$$\begin{aligned} |\psi\rangle &= a|0\rangle + b|1\rangle \\ &= e^{i\alpha} \left( \cos \frac{\theta}{2} |0\rangle + e^{i\varphi} \sin \frac{\theta}{2} |1\rangle \right) \\ &= \cos \frac{\theta}{2} |0\rangle + e^{i\varphi} \sin \frac{\theta}{2} |1\rangle \end{aligned}$$

- Bloch sphere를 이용하여 2개의 parameter  $(\theta, \phi)$ 에 대해 qubit을 나타낼 수 있다.

$$|\psi\rangle = (\sin \theta \cos \varphi, \sin \theta \sin \varphi, \cos \theta)$$



## Quantum Gates

---

- Pauli operator:

$$X \equiv \begin{pmatrix} 0 & 1 \\ 1 & 0 \end{pmatrix}; \quad Y \equiv \begin{pmatrix} 0 & -i \\ i & 0 \end{pmatrix}; \quad Z \equiv \begin{pmatrix} 1 & 0 \\ 0 & -1 \end{pmatrix}$$

- Hadamard, Phase,  $\pi/8$  gate [\*]:

$$H = \frac{1}{\sqrt{2}} \begin{pmatrix} 1 & 1 \\ 1 & -1 \end{pmatrix}; \quad S = \begin{pmatrix} 1 & 0 \\ 0 & i \end{pmatrix}; \quad T = \begin{pmatrix} 1 & 0 \\ 0 & \exp(i\pi/4) \end{pmatrix}.$$

$\Rightarrow$

$$T =$$

- Rotation operator:

$$R_x(\theta) \equiv e^{-i\theta X/2} = \cos \frac{\theta}{2} I - i \sin \frac{\theta}{2} X = \begin{pmatrix} \cos \frac{\theta}{2} & -i \sin \frac{\theta}{2} \\ -i \sin \frac{\theta}{2} & \cos \frac{\theta}{2} \end{pmatrix}$$

$$R_y(\theta) \equiv e^{-i\theta Y/2} = \cos \frac{\theta}{2} I - i \sin \frac{\theta}{2} Y = \begin{pmatrix} \cos \frac{\theta}{2} & -\sin \frac{\theta}{2} \\ \sin \frac{\theta}{2} & \cos \frac{\theta}{2} \end{pmatrix}$$

$$R_z(\theta) \equiv e^{-i\theta Z/2} = \cos \frac{\theta}{2} I - i \sin \frac{\theta}{2} Z = \begin{pmatrix} e^{-i\theta/2} & 0 \\ 0 & e^{i\theta/2} \end{pmatrix}$$

- Generalized rotation operator:

$\hat{n} = (n_x, n_y, n_z)$ 를 기준으로  $\theta$ 만큼 회전을 수행하는 rotation gate.

$$R_{\hat{n}}(\theta) \equiv \exp(-i\theta \hat{n} \cdot \vec{\sigma}/2) = \cos \left( \frac{\theta}{2} \right) I - i \sin \left( \frac{\theta}{2} \right) (n_x X + n_y Y + n_z Z)$$

## Rotation operator

Rotation operator가 중요한 이유는 서로 다른 두 axis에 대한 rotation operator가 존재한다면, single qubit unitary gate를 decomposition할 수 있기 때문이다!



# Single-qubit gate decomposition

## Theorem 1 (ZY decomposition)

*Suppose  $U$  is a unitary operation on a single qubit. Then there exist real numbers  $\alpha, \beta, \gamma$  and  $\delta$  such that,*

$$U = e^{i\alpha} R_z(\beta) R_y(\gamma) R_z(\delta)$$

## Theorem 2

*Suppose  $U$  is a unitary gate on a single qubit. Then there exist unitary operators  $A, B, C$  on a single qubit such that  $ABC = I$  and*

$$U = e^{i\alpha} A X B X C$$

*where  $\alpha$  is some overall phase factor and  $X$  is a Pauli- $X$  operator.*

✓ meaning: 어떤 single-qubit unitary gate이든지 rotation operator decomposition을 활용하면 arbitrary single qubit gate 3개와 Pauli-X gate로 나타낼 수 있다.

\* Proof:

Theorem 6를 이용하면, single qubit gate  $A, B, C$ 를 rotation gate로 decomposition 할 수 있다. 각 gate가 다음과 같이 decomposition 된다고 하자.

- $A \triangleq R_z(\beta)R_y\left(\frac{\gamma}{2}\right)$
- $B \triangleq R_y\left(-\frac{\gamma}{2}\right)R_z\left(-\frac{\delta+\beta}{2}\right)$
- $C \triangleq R_z\left(\frac{\delta-\beta}{2}\right)$

$$ABC =$$

$$XBX =$$

$$AXBXC =$$

- Controlled gate는 기본적으로 2-qubit gate이다.
- Control qubit의 값에 따라서, target qubit에 대한 operator  $U$ 의 적용 유무가 결정된다. (일반적으로  $|1\rangle$ 이면 적용한다는 의미)

$$C(U) |ct\rangle = \begin{cases} U |ct\rangle & \text{if } |c\rangle = |1\rangle \\ |ct\rangle & \text{if } |c\rangle = |0\rangle \end{cases}$$

- Control qubit의 spectral decomposition은 다음과 같다.

$$C(U) = |0\rangle \langle 0| \otimes I + |1\rangle \langle 1| \otimes U$$

- Gate symbol:
  - 점이 있는 곳이 control qubit이고 gate symbol이 있는 곳이 target qubit이다.
  - Target qubit이 검은색이면  $|1\rangle$ 일 때 동작함을 의미하고, 만약 속이 채워지지 않은 점이라면  $|0\rangle$ 일 때 동작함을 의미한다.

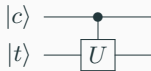


Table 2: Controlled-U gate

## Controlled NOT gate

- 어떤 unitary gate이든지 controlled gate로 사용될 수 있지만, Pauli  $X$  gate에 대한 controlled gate인 CNOT gate가 특히나 더 중요하다.
- CNOT gate는 control qubit가  $|1\rangle$ 일 때, target qubit의 값을 반전시킨다. 마치 XOR gate처럼 동작하기 때문에, CNOT gate를 다음과 같이 표현한다.

$$C(X) |00\rangle = |00\rangle$$

$$C(X) |01\rangle = |01\rangle$$

$$C(X) |10\rangle = |11\rangle$$

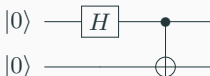
$$C(X) |11\rangle = |10\rangle$$

$$C(X) |ct\rangle = |c\rangle |t \oplus c\rangle$$



Table 3: Controlled NOT gate

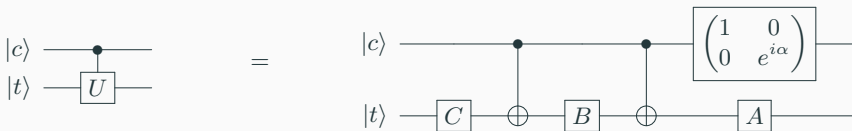
- CNOT gate를 사용하면 **entangled state**를 만들 수 있다.
  - initial state:  $|00\rangle$
  - after  $H$  gate:  $(H \otimes I) |00\rangle = \frac{|0\rangle + |1\rangle}{\sqrt{2}} |0\rangle$
  - after  $C(X)$  gate:  $C(X) \frac{|0\rangle + |1\rangle}{\sqrt{2}} |0\rangle = \frac{|00\rangle + |11\rangle}{\sqrt{2}} \rightarrow \text{Bell state!}$



## Controlled gate decomposition

Theorem 6를 이용하면, CNOT gate를 다음과 같이 3개의 single-qubit unitary operation  $A, B, C$ 와 Controlled- $X$  gate 2개를 사용하여 decomposition할 수 있다.

$$C(U) = e^{i\alpha} AC(X)BC(X)C$$



- If  $|c\rangle = |0\rangle$ :

$$\begin{aligned}
 C(U) |00\rangle &= |00\rangle \\
 C(U) |01\rangle &= |01\rangle \\
 C(U) |10\rangle &= |1\rangle U |0\rangle \\
 C(U) |11\rangle &= |1\rangle U |1\rangle
 \end{aligned}
 =
 \begin{aligned}
 &\xrightarrow{I \otimes C} |0\rangle C |t\rangle \xrightarrow{C(X)} |0\rangle C |t\rangle \xrightarrow{I \otimes B} |0\rangle BC |t\rangle \\
 &\xrightarrow{C(X)} |0\rangle BC |t\rangle \xrightarrow{I \otimes A} |0\rangle ABC |t\rangle
 \end{aligned}$$

- If  $|c\rangle = |1\rangle$ :

$$\begin{aligned}
 &\xrightarrow{I \otimes C} |1\rangle C |t\rangle \xrightarrow{C(X)} |1\rangle XC |t\rangle \xrightarrow{I \otimes B} |1\rangle BXC |t\rangle \\
 &\xrightarrow{C(X)} |1\rangle XBXC |t\rangle \xrightarrow{I \otimes A} |1\rangle AXBXC |t\rangle
 \end{aligned}$$

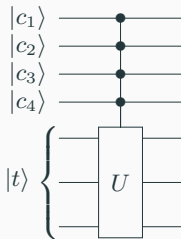
## Controlled gate on multiple-qubit

(generalize)  $n + k$ 개의 qubit에 대해,  $n$ 개가 control qubit이고  $k$ 개가 target qubit; 즉  $U$ 가  $k$ -qubit에 대한 operator인 controlled gate는 다음과 같이 정의한다.

$$C^n(U) |c_1 c_2 \cdots c_n\rangle |t\rangle = |c_1 c_2 \cdots c_n\rangle U^{\prod_i c_i} |t\rangle$$

$\Rightarrow$  control qubit들이 모두 1이면  $U$  operator가 적용되고, 그렇지 않으면 아무것도 수행하지 않는다.

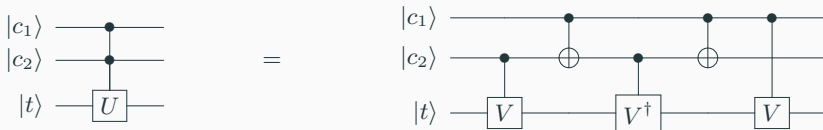
**Example**  $n = 4, t = 3$  controlled gate



## Controlled gate on multiple-qubit decomposition

### Decomposition of $C^2(U)$

Control qubit이 2개인 unitary gate는  $V^2 = U$ 를 만족하는 unitary gate  $V$ 에 대해서 다음과 같이 decomposition 할 수 있다.

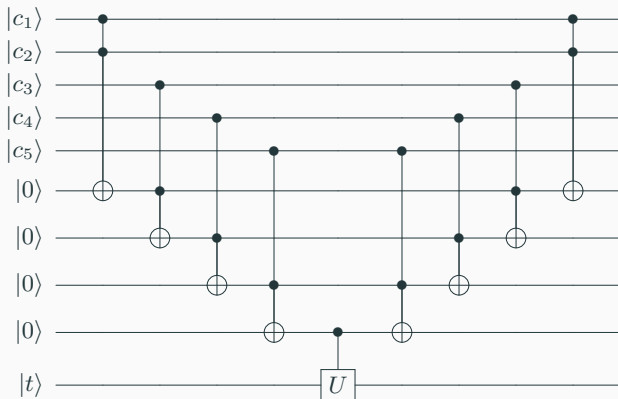


\* Proof: 위와 같이 decomposition한 gate가 실제로  $C^2(U)$ 와 동일하게 동작하는지 확인해보자.

$\Rightarrow$

## Controlled gate on multiple-qubit decomposition

(generalize) Control qubit이  $n$ 개인 unitary gate는 Toffoli gate ( $C^2(X)$ )를 이용하여 다음과 같이 구현한다. 구현을 위해서  $n - 1$ 개의 ancilla qubit을 필요로 한다.





### Complexity:

$C^n(U)$  gate를 구현하기 위해서는 다음과 같은 complexity를 가진다.

- $n - 1$ 개의 ancilla qubit
- $2(n - 1)$ 개의 Toffoli gate
  - $4(n - 1)$ 개의 CNOT gate
  - $6(n - 1)$ 개의 single unitary gate

$$O(n)$$

\* Proof:  $2(n - 1)$ 개의 Toffoli gate, 그리고  $C(U)$  gate를 사용하여 decomposition한 회로가 왜  $C^n(U)$ 와 동일하게 동작하는지 분석해보자.

⇒

## Summary

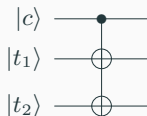
- Quantum circuit을 구성하는 다양한 gate들을 소개한다.
- Single qubit gate는 다음과 equivalent하다.
  - 두 가지 axis에 대한 rotation gates
  - single qubit gates와 Pauli-X gates
- Single qubit controlled gate = single qubit gates and CNOT gates
- Multiple-qubit controlled gate = *single qubit controlled gates* and CNOT gates  
→ *single qubit gates and CNOT gates*

## Some remarks

- control qubit이  $|0\rangle$ 일 때 동작하는 controlled gate의 구현은 다음과 같다.

$$XC(U)X = C'(U)$$

- (symbol) single-qubit gate가 여러개의 target qubit에 적용되는 경우:



**Universal Quantum gate set: {CNOT, single qubit gates}**

---

# Decomposition from n-qubit unitary gate to two-level unitary gates

## Theorem 3

Unitary operator  $U$  which acts on a  $d$ -dimensional Hilbert space ( $d = 2^n$ ) may be decomposed into a product of *two-level unitary matrices*;

### Two-level unitary:

- $d$ 차원 Hilbert space의 벡터에 대해서 **2개의** 벡터요소에만 작용
- $d \times d$  matrix에서 대부분은 identity matrix이고 자신이 작용하는 state에 대응되는 부분에만 항등행렬이 아닌  $2 \times 2$  행렬이 위치한다.

$$\begin{pmatrix} u_{11} & u_{12} & 0 \\ u_{22} & u_{22} & 0 \\ 0 & 0 & 1 \end{pmatrix} \quad \text{or} \quad \begin{pmatrix} u_{11} & 0 & u_{12} \\ 0 & 1 & 0 \\ u_{21} & 0 & u_{22} \end{pmatrix}$$

\* Proof: from  $3 \times 3$  example, ( $d = 3$ )  $3 \times 3$  unitary  $U$ 에 대하여, 다음을 만족하는 two-level matrices가 존재함을 보이자.

$$U_3 U_2 U_1 U = I \quad \Leftrightarrow \quad U_1^\dagger U_2^\dagger U_3^\dagger$$

where

$$U = \begin{bmatrix} a & d & g \\ b & e & h \\ c & f & j \end{bmatrix}$$

# Decomposition from n-qubit unitary gate to two-level unitary gates

\* Proof: (contd.)

- $b$ 의 값에 따라서 다음과 같이  $U_1$ 를 가정하자.

$$U_1 \equiv \begin{bmatrix} 1 & 0 & 0 \\ 0 & 1 & 0 \\ 0 & 0 & 1 \end{bmatrix} \quad (b = 0), \quad U_1 \equiv \begin{bmatrix} \frac{a^*}{\sqrt{|a|^2+|b|^2}} & \frac{b^*}{\sqrt{|a|^2+|b|^2}} & 0 \\ \frac{b}{\sqrt{|a|^2+|b|^2}} & \frac{-a}{\sqrt{|a|^2+|b|^2}} & 0 \\ 0 & 0 & 1 \end{bmatrix} \quad (b \neq 0)$$

- 이렇게 가정한  $U_1$ 를  $U$ 에 곱하면,  $b = 0$ 이 된다.

$$U_1 U = \begin{bmatrix} a' & d' & g' \\ 0 & e' & h' \\ c' & f' & j' \end{bmatrix}$$

- $c'$ 의 값에 따라서 다음과 같이  $U_2$ 를 가정하자.

$$U_2 \equiv \begin{bmatrix} a'^* & 0 & 0 \\ 0 & 1 & 0 \\ 0 & 0 & 1 \end{bmatrix} \quad (c' = 0), \quad U_2 \equiv \begin{bmatrix} \frac{a'^*}{\sqrt{|a'|^2+|c'|^2}} & 0 & \frac{c'^*}{\sqrt{|a'|^2+|c'|^2}} \\ 0 & 1 & 0 \\ \frac{c'}{\sqrt{|a'|^2+|c'|^2}} & 0 & \frac{-a'}{\sqrt{|a'|^2+|c'|^2}} \end{bmatrix} \quad (c' \neq 0)$$

## Decomposition from n-qubit unitary gate to two-level unitary gates

\* Proof: (contd.)

- 이렇게 가정한  $U_2$ 를  $U_1U$ 에 곱하면,  $c' = 0$ 이 되고,  $a' = 1$ 이 된다. 이때, unitary matrix의 조건에 의해서 첫번째 row vector의 norm이 반드시 1이 되어야하므로  $d'' = 0, g'' = 0$ 이어야한다. [\*]

$$U_2U_1U = \begin{bmatrix} 1 & d'' & g'' \\ 0 & e'' & h'' \\ 0 & f'' & j'' \end{bmatrix} = \begin{bmatrix} 1 & 0 & 0 \\ 0 & e'' & h'' \\ 0 & f'' & j'' \end{bmatrix}$$

- 마지막으로  $U_3 = (U_2U_1U)^\dagger$ 로 가정하자. 그럼 자명하게 다음을 만족하므로,  $3 \times 3$  unitary matrix를 3개의 two-level matrix의 multiplication으로 decomposition 할 수 있다.

$$U_3U_2U_1U = (U_2U_1U)^\dagger(U_2U_1U) = I$$

- (generalize)  $d \times d$  matrix에 대해서도  $u_{11} = 1$ 이고 나머지 행과 열은 0인 행렬을 two-level matrix들을 곱하여;  $U_1U_2 \cdots U_{d-1}U$  얻을 수 있다. 그러고 나서, 나머지  $d-1 \times d-1$  부분 행렬이  $2 \times 2$  부분 행렬이 될 때까지 이 절차를 반복하면, 임의의  $d \times d$  유니타리 행렬을 다음과 같이 표현할 수 있다.□

$$U = V_1 \cdots V_k, \quad k \leq (d-1) + (d-2) + \cdots + 1 = \frac{d(d-1)}{2}$$

## Two-level unitary gate is controlled-U gate

- 2-level unitary matrix는  $n$  system 전체에 작용하는 gate이지만 특정 벡터요소에만 작용하며, 이는 특정 **basis state**에 대해서만 작용한다고 생각할 수 있다.
- 예를 들어, 다음과 같은 2-level unitary matrix는  $|10\rangle, |11\rangle$  basis state에만 비자명하게 작용한다.  $|c\rangle = |1\rangle$ 일 때 동작하는 controlled- $U$  gate로 생각할 수 있다.

$$\begin{pmatrix} 1 & 0 & 0 & 0 \\ 0 & 1 & 0 & 0 \\ 0 & 0 & u_{00} & u_{01} \\ 0 & 0 & u_{10} & u_{11} \end{pmatrix} = u_{00} |10\rangle \langle 10| + u_{01} |10\rangle \langle 11| + u_{10} |11\rangle \langle 10| + u_{11} |11\rangle \langle 11| + I_{\perp}$$

- 그러나 문제점은 다음과 같은 two-level unitary matrix도 존재한다는 것이다.

$$\begin{pmatrix} u_{00} & 0 & 0 & u_{01} \\ 0 & 1 & 0 & 0 \\ 0 & 0 & 1 & 0 \\ u_{10} & 0 & 0 & u_{11} \end{pmatrix} = u_{00} |00\rangle \langle 00| + u_{01} |00\rangle \langle 11| + u_{10} |11\rangle \langle 00| + u_{11} |11\rangle \langle 11| + I_{\perp}$$

- Two-level unitary matrix가 작용하는 basis가 1bit의 값이 다르다면, 그 1bit를 target qubit으로 생각해서 controlled- $U$  gate로 표현할 수 있다.
- 그러나, 1bit이상이 달라지게 되면 더이상 controlled- $U$  gate로 생각할 수 없다.

# Decomposition from $n$ -qubit controlled- $U$ gate to $\{\text{CNOT gates, single-qubit}\}$

$\Rightarrow$  Single qubit and CNOT gates are universal!

## Idea

Basis  $|s\rangle, |t\rangle, D_H(s, t) > 1$ 에 대한 작용을 basis  $D_H(g_i, g_j) = 1$ 에 대한 작용들의 연속으로 생각하는 것이다.

$$|s\rangle = |g_1\rangle \rightarrow |g_2\rangle \rightarrow |g_3\rangle \cdots \rightarrow |g_{m-1}\rangle, D_H(|g_{m-1}\rangle, |t\rangle) = 1$$

예를 들어,  $|s\rangle = |101001\rangle$ 이고  $|t\rangle = |110011\rangle$ 이면 다음과 같은 변환을 수행할 수 있다.

$$s = 101001$$

$$g_2 = 101011$$

$$g_3 = 100011$$

$$t = 110011$$

## Theorem 4

$n$ -qubit controlled- $U$  gate can be decomposed into a single qubit gate and CNOT gates;



# Decomposition from n-qubit controlled-U gate to {CNOT gates, single-qubit}

⇒ Single qubit and CNOT gates are universal!

\* Proof:

- $|s\rangle = |g_1\rangle, |t\rangle = |g_m\rangle$ 에 대해서 작용하는 two-level unitary matrix는 다음과 같다.

$$U = u_{00} |g_1\rangle \langle g_1| + u_{01} |g_1\rangle \langle g_m| + u_{10} |g_m\rangle \langle g_1| + u_{11} |g_m\rangle \langle g_m| + \sum_{s' \neq g_1, g_m} |s'\rangle \langle s'|$$

- $|g_1\rangle$ 을  $|g_2\rangle$ 로 변환하는 operator는 다음과 같다. (특정 qubit의 값을 반전)

$$V_{12} = |g_2\rangle \langle g_1| + |g_1\rangle \langle g_2| + \sum_{s' \neq g_1, g_2} |s'\rangle \langle s'|$$

- 따라서 변환하면 다음과 같이  $|g_2\rangle, |g_m\rangle$ 에 대해서 작용하는 operator가 된다.

$$V_{12}^\dagger U V_{12} = u_{00} |g_2\rangle \langle g_2| + u_{01} |g_2\rangle \langle g_m| + u_{10} |g_m\rangle \langle g_2| + u_{11} |g_m\rangle \langle g_m| + I_\perp$$

- 이를 반복하면,  $|g_{m-1}\rangle, |g_m\rangle$ 에 대한 변환을 수행하는 controlled-U gate가 된다.

$$C^{n-1}(U) \triangleq V_{m-2, m-1} \cdots V_{2,3} V_{1,2} U V_{1,2}^\dagger V_{2,3}^\dagger \cdots V_{m-2, m-1}^\dagger$$

# Decomposition from n-qubit controlled-U gate to {CNOT gates, single-qubit}

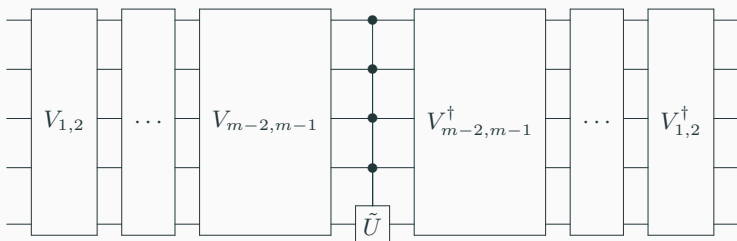
⇒ Single qubit and CNOT gates are universal!

\* Proof: (contd.)

- $C^{n-1}(U)$  gate에 다시 basis를 변환하는 operator를 가하면, 원래의 matrix와 동등하다는 것을 알 수 있다.

$$\begin{aligned} & (V_{m-2,m-1} \cdots V_{2,3} V_{1,2})^\dagger C^{n-1}(U) (V_{1,2}^\dagger V_{2,3}^\dagger \cdots V_{m-2,m-1}^\dagger)^\dagger \\ &= (V_{m-2,m-1} \cdots V_{1,2})^\dagger (V_{m-2,m-1} \cdots V_{1,2}) U (V_{1,2}^\dagger \cdots V_{m-2,m-1}^\dagger)^\dagger (V_{1,2}^\dagger \cdots V_{m-2,m-1}^\dagger) \end{aligned}$$

- 따라서, 다음의 과정을 거쳐서 two-level matrix를 구현할 수 있다.
  1. basis 변환:  $|s\rangle \rightarrow |g_{m-1}\rangle$
  2. Controlled-U gate:  $C^{n-1}(U)$
  3. 원본 basis로 다시 변환:  $|g_{m-1}\rangle \rightarrow |s\rangle$



## Decomposition from $n$ -qubit controlled-U gate to $\{\text{CNOT gates, single-qubit}\}$

$\Rightarrow$  Single qubit and CNOT gates are universal!

**Example** 다음의  $8 \times 8$  two-level unitary operator를 구현하는 회로를 설계하라.

$$U = \begin{bmatrix} a & 0^{\otimes 6} & c \\ 0^{\otimes 6} & I^{6 \times 6} & 0^{\otimes 6} \\ b & 0^{\otimes 6} & d \end{bmatrix}, \quad \tilde{U} = \begin{bmatrix} a & c \\ b & d \end{bmatrix}$$

$\Rightarrow$

### Corollary 5

*single qubit and CNOT gates together can be used to implement an arbitrary  $n$ -qubit unitary operation.*

\* Proof: Combine theorem 3 and 4, we can easily proof this corollary.  $\square$

그렇다면,  $n$ -qubit arbitrary unitary operator를 구현하기 위해서 필요한 총 gate의 개수는 몇 개일까?

- $d \times d$  gate  $\equiv$  최대  $d(d-1)/2$ 개의 two-level gate

$$O(d^2) = O(4^n)$$

- (each) two-level gate  $\equiv$  최대  $2(n-1) + 1$ 개의 controlled gate (*basis change*)

$$O(n)$$

- (each) controlled gate  $\equiv$  최대  $2(n-1)$ 개의 Toffoli gate

$$O(n)$$

$\Rightarrow$  따라서 다음과 같은 circuit complexity를 가지고 CNOT gates, single-qubit gates를 이용하여 어떤 unitary gate도 구현할 수 있다!

$$O(4^n) \times O(n) \times O(n) = O(n^2 4^n)$$

## Summary

- $n$ -qubit unitary =  $O(4^n)$ 개의 two-level unitary gates.
- $n$ -qubit two-level unitary gate =  $O(n)$ 개의 controlled gates.  
(basis를 변환한 뒤, controlled-U gate를 취하고 다시 원래 basis로 변환한다.)
- $n$ -qubit controlled gate =  $O(n)$ 개의 CNOT / single-qubit gates.
- 따라서 총  $O(n^2 4^n)$ 의 복잡도로 universal gate set  $\{CNOT, \text{single-qubit gate}\}$ 를 이용하여 어떤 quantum gate이든지 구현할 수 있다.

**Universal Quantum Discrete gate set: {CNOT, H,  
S, T}**

---

**Problem:** Universal gate set  $\{CNOT, \text{single-qubit gate}\}$ 을 사용하면 어떠한 quantum gate이든지 오류없이 구현할 수 있다. 하지만, single-qubit gates는  $\theta$ 에 따라서 continuous한 gate이기 때문에 이로인하여 noise에 큰 영향을 받게된다.

$\Rightarrow$  **Idea:** Discrete gate set  $\{CNOT, H, S, T\}$ 을 사용하여 gate를 **approximation**하여 구현하고자 한다.

### Definition 6 (approximation error)

We define the **error** when  $V$  is implemented instead of  $U$  by

$$E(U, V) \triangleq \max_{|\psi\rangle} \|(U - V)|\psi\rangle\|$$

where the maximum is over all normalized quantum states  $|\psi\rangle$  in the state space.

✓ meaning:  $U$ 를  $V$ 로 근사했을 때 발생하는 error중에서 가장 큰 값으로 정의한다.

## Definition 7 (variational distance)

We define the **variational distance** as

$$VD(P_U(m), P_V(m)) = \frac{1}{2} |P_U(m) - P_V(m)|,$$

and total variational distance

$$TVD(P_U, P_V) = \frac{1}{2} \sum_m |P_U(m) - P_V(m)|,$$

where

$$P_U(m) = \text{tr}[E_m U |\psi\rangle \langle\psi| U^\dagger], \quad P_V(m) = \text{tr}[E_m V |\psi\rangle \langle\psi| V^\dagger].$$

✓ meaning: 각 gate  $U, V$ 를  $|\psi\rangle$ 에 가한 뒤 관측했을 때, 그 outcome이  $m$ 일 확률이  $P_U(m), P_V(m)$ 이다. 두 probability distribution의 차이로 variational distance를 정의한다. 만약 두 분포가 거의 유사하다면, 두 unitary  $U, V$ 를 구분하기 어려울 것이다.

## Corollary 8

If  $E(U, V) < \epsilon$  then,  $TVD(P_U, P_V) < \epsilon$



## Theorem 9 (quantum gate error bound)

$$|P_U(m) - P_V(m)| \leq 2E(U, V)$$

✓ meaning: If  $E(U, V)$  is small, then measurement outcomes occur with similar probabilities.

\* Proof: (hint. 코시-슈바르츠 부등식)

⇒

$$\begin{aligned} |P_U(m) - P_V(m)| &= |\text{tr}[MU |\psi\rangle \langle\psi| U^\dagger] - \text{tr}[MV |\psi\rangle \langle\psi| V^\dagger]| \\ &= \\ &\leq \\ &\leq 2E(U, V) \end{aligned}$$

## Theorem 10 (quantum circuit error bound)

$$E(U_m U_{m-1} \dots U_1, V_m V_{m-1} \dots V_1) \leq \sum_{j=1}^m E(U_j, V_j)$$

\* Proof: (hint. triangle inequality)  $m = 2$ 일 때,

$\Rightarrow$

$$\begin{aligned} E(U_2 U_1, V_2 V_1) &= \| (U_2 U_1 - V_2 V_1) |\psi\rangle \| \\ &= \\ &\leq \\ &\leq E(U_2, V_2) + E(U_1, V_1) \end{aligned}$$

## Generate two type of rotational gate $R_{\hat{n}}(\hat{\theta}), R_{\hat{m}}(\hat{\theta})$

- Discrete gate set  $\{H, S, T, CNOT\}$ 에 대하여, 다음의 연산을 생각해보자. 즉,  $H$  gate를 양옆에 가하면 rotation 축을 변경시킬 수 있다.

$$HTH = e^{-i\frac{\pi}{8}X}$$

- 그럼 다음 연산을 생각해보자.

$$\begin{aligned} THTH &= \exp\left(-i\frac{\pi}{8}Z\right) \exp\left(-i\frac{\pi}{8}X\right) = \left[\cos\frac{\pi}{8}I - i\sin\frac{\pi}{8}Z\right] \left[\cos\frac{\pi}{8}I - i\sin\frac{\pi}{8}X\right] \\ &= \cos^2\frac{\pi}{8}I - i\left[\cos\frac{\pi}{8}(X+Z) + \sin\frac{\pi}{8}Y\right] \sin\frac{\pi}{8} \end{aligned}$$

- 위 연산은 다음과 같은 형태의 rotation gate  $R_{\hat{n}}(\theta)$ 로 생각해볼 수 있다.

$$R_{\hat{n}}(\theta) = \cos\left(\frac{\theta}{2}\right)I - i\sin\left(\frac{\theta}{2}\right)(n_xX + n_yY + n_zZ)$$

where  $\hat{n} = (\cos(\pi/8), \sin(\pi/8), \cos(\pi/8))$ ,  $\cos(\theta/2) = \cos^2(\pi/8)$

- 또한,  $H$  gate를 사용하여 또다른 임의의 축  $\hat{m}$ 에 대한 rotation gate를 만들 수 있다.

$$H(R_{\hat{n}}(\theta))H = R_{\hat{m}}(\theta)$$

where  $\hat{m} = (\cos(\pi/8), -\sin(\pi/8), \cos(\pi/8))$ ,  $\cos(\theta/2)$

## Approximating n-qubit unitary gate via $R_{\hat{n}}(\hat{\theta}), R_{\hat{m}}(\hat{\theta})$

우리가 만든 2개의 rotation gate  $R_{\hat{n}}(\theta) \triangleq THTH$ ,  $R_{\hat{m}}(\theta) \triangleq HTHTHH$ 를 이용하면, 어떤 unitary gate도 특정 error rate 이하로 근사할 수 있다!

### Theorem 11

*We can implement arbitrary single-qubit gate  $V$  via  $\{H, T, S\}$  that satisfy following bound*

$$E(U, V) \leq \epsilon,$$

*where  $\epsilon$  is target error rate.*

\* Proof: (hint) using kronecker theorem

$\Rightarrow$

$$\begin{aligned} |U - V| &= |R_{\hat{n}}(\alpha)R_{\hat{m}}(\beta)R_{\hat{n}}(\gamma) - (R_{\hat{n}}(\theta))^{n_1}(R_{\hat{m}}(\theta))^{n_2}(R_{\hat{n}}(\theta))^{n_3}| \\ &\leq |R_{\hat{n}}(\alpha) - (R_{\hat{n}}(\theta))^{n_1}| + |R_{\hat{m}}(\beta) - (R_{\hat{m}}(\theta))^{n_2}| + |R_{\hat{n}}(\gamma) - (R_{\hat{n}}(\theta))^{n_3}| \\ &\leq \frac{\epsilon}{3} + \frac{\epsilon}{3} + \frac{\epsilon}{3} = \epsilon \end{aligned}$$

## Circuit complexity: for # of single qubit gates

그렇다면,  $n$ -qubit gate를 discrete gate set만을 사용하여 구현할 때, single qubit gate의 개수에 대한 circuit complexity는 무엇일까? ( $\max(n_1, n_2, n_3) = ?$ )

- (아이디어)  $\theta_{i-j} < \epsilon_1$ 에 대하여,  $k\theta_i - j, \forall k$ 는  $[0, 2\pi)$ 범위를 uniform하게 채우기 때문에, 최악의 경우라 하더라도  $n_1 \approx 2\pi/\epsilon_1$ 일 것이다.
- 따라서 각 gate에 대한 error가  $\epsilon_1$ 일 때,  $n$ -qubit gate를 근사하기 위해 필요한 single-qubit gate가  $m$ 개라면, error rate는  $\epsilon = \epsilon_1/m$ 으로 표현할 수 있다.

$$\Omega\left(m \frac{2\pi}{\epsilon_1}\right) = \Omega\left(m \frac{2\pi m}{\epsilon}\right) = \Omega(m^2)$$

- 그러나 다음 정리를 이용하면, 이보다 훨씬 적은 gate만을 사용하여 구현할 수 있다.

### Theorem 12 (Solovay Kitaev theorem)

$$m \times O\left(\log^c\left(\frac{m}{\epsilon}\right)\right) = O(m \log^c m)$$

where

$$n_1 = O\left(\log^c\left(\frac{1}{\epsilon_1}\right)\right) = O\left(\log^c\left(\frac{m}{\epsilon}\right)\right)$$

## Circuit complexity: for # of qubits

그렇다면,  $n$ -qubit gate를 discrete gate set만을 사용하여 구현할 때, qubit 개수에 대한 circuit complexity는 무엇일까?

### Theorem 13

*For implement arbitrary  $n$ -qubit unitary gate  $U$  needs  $\Omega(2^n)$  number of gates.*

\* Proof:  $U$ 가 만들어낼 수 있는  $|\psi\rangle$ 의 경우의 수를 이용한다.

**method 1** initial state  $|0\rangle^{\otimes n}$ 에 대하여,  
 $g$ 개의 서로다른 유형의 gate가 있고 각 gate들은 최대  $f$ 개의 qubit에 적용되는 discrete set을 가정하자.  $n$ -qubit gate를 표현하기 위해 필요한 gate가  $m$ 개일 때,  
 $\Rightarrow$

$$O(n^{mfg})$$

### method 2

- 반면, quantum state를  $2^n$ 개의 coefficient로 생각하면,  $n$  qubit system의 state space를  $2^{n+1} - 1$ 차원에서 unit sphere의 surface로 생각해볼 수 있다. [\*]
- 마찬가지로 quantum state에 대해 error bound  $\epsilon$  내부에 있는 state들은  $2^{n+1} - 2$ 차원에서 반지름이  $\epsilon$ 인 sphere들의 volume와 유사하다.
- 따라서 quantum state space를 epsilon ball로 덮기위해 필요한 ball의 개수는 다음과 같다.

$$\frac{S_{2^{n+1}-1}(1)}{V_{2^{n+1}-2}(\epsilon)} = \Omega\left(\frac{1}{\epsilon^{2^{n+1}-1}}\right)$$

$\Rightarrow$

$$m \geq \Omega\left(\frac{2^n \log\left(\frac{1}{\epsilon}\right)}{\log n}\right)$$

## Summary

- If arbitrary  $n$ -qubit needs  $m$  number of single qubit gates, then needs  $\Omega(m \log^c m)$  number of gates which in discrete gate set.
- Arbitrary  $n$ -qubit needs  $\Omega(2^n)$  number of gates.

## *Some remarks*

- 실제 HW에서는 멀리 떨어진 qubit간 연산을 위해 추가적인 SWAP gate가 필요하다. 따라서 이론보다 더 많은 gate가 필요할 수 있다.
- 우리가 사용한 discrete set은 universal이지만, unique하지는 않다.



## Measurement

---

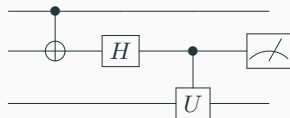
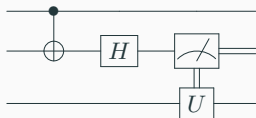
# Principle of deferred measurement

Computational basis:  $\{|0\rangle\langle 0|, |1\rangle\langle 1|\}$

## Principle of deferred measurement

Measurements can always be moved from an intermediate stage of a quantum circuit to the end of the circuit; if the measurement results are used at any stage of the circuit then the classically controlled operations can be replaced by conditional quantum operations.

✓ meaning: 회로 중간에 intermediate measurement를 수행하고 그 결과로부터 다른 gate를 control하는 회로는, measurement를 가장 마지막에 수행하도록 한 circuit과 equivalent하다.

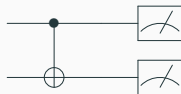
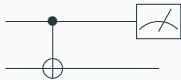


# Principle of implicit measurement

## Principle of implicit measurement

Without loss of generality, any unterminated quantum wires (qubits which are not measured) at the end of a quantum circuit may be assumed to be measured.

✓ meaning: 특정 qubit만 관측하는 partial measurement 회로는, 모든 qubit을 measurement하는 circuit과 equivalent하다.



- M. A. Nielsen and I. L. Chuang, Quantum Computation and Quantum Information
- Lecture notes for QU511: Quantum Computing (Fall 2024)